

《原 著》

^{99m}Tc -rhenium-colloid と ^{67}Ga -citrate を用いての 2 核種 同時シンチグラフィー (1)

—基礎的研究と悪性リンパ腫における臨床的有用性について—

丸尾 直幸* 中坊 俊雅* 小沢 勝* 小林 裕*

近藤 元治* 岡本 邦雄** 山下 正人** 三木 昌宏***

要旨 ^{99m}Tc -rhenium-colloid リンパ節シンチグラフィーと ^{67}Ga -citrate 腫瘍シンチグラフィーの同時撮像について基礎的に検討するとともに、悪性リンパ腫に応用した。 ^{99m}Tc は 140 keV に、また ^{67}Ga は 93 keV, 184 keV, 296 keV にエネルギーピークを示した。撮像に際して、両シンチ像上での病変部の相互位置関係を正しく比較対応させるために同一の中エネルギーコリメータを用いた。そしてエネルギーピークの差を利用し、2核種の各放射活性を分離し像を得るために、 ^{67}Ga の window には 184 keV \pm 20% と 296 keV \pm 20% を、 ^{99m}Tc には 140 keV \pm 10% を用いた。 ^{67}Ga window では ^{99m}Tc の影響は、 ^{99m}Tc window の測定値の 0.2% ときわめて低かったが、 ^{99m}Tc window での ^{67}Ga の影響は、 ^{67}Ga window の測定値の 23.7% であった。しかし正常および悪性リンパ腫例で ^{99m}Tc window のシンチ像が、 ^{67}Ga の影響で読影困難になることはなかった。この2核種同時シンチグラフィーは、 ^{67}Ga window 像で悪性リンパ腫 11 例中 9 例に radioactivity 集積の陽性像を、また ^{99m}Tc window 像で欠損所見の陰性像を示した。この陽性像と陰性像とを相補的に診断することにより、両方のシンチグラフィーを単独に用いた場合の読影上の欠点を補うことが可能となり、臨床的に有用性が高いと考えられる。

I. はじめに

^{99m}Tc -rhenium-colloid リンパ節シンチグラフィーおよび ^{67}Ga -citrate による腫瘍シンチグラフィーは悪性リンパ腫の診断と病期判定^{1~4)}のみならず、侵襲が少なく頻回に施行可能なため治療経過の把握にも有用である⁴⁾。

悪性リンパ腫の病変部は、 ^{99m}Tc -rhenium-colloid リンパ節シンチ像上欠損所見を呈するが⁴⁾、このシンチ像のみで欠損所見が腫瘍病変によるの

か奇形によるのかを判定することは困難である。他方、 ^{67}Ga -citrate 腫瘍シンチグラフィーは、腫瘍部位以外にも炎症巣に radioactivity の集積を示すために^{5~7)}、集積所見の評価が困難な欠点を有している。これらの欠点を補うために両方のシンチグラフィーを同一人に用いれば、 ^{67}Ga -citrate 腫瘍シンチグラフィーの陽性像と ^{99m}Tc -rhenium-colloid リンパ節シンチグラフィーの陰性像とで相補的に診断でき、臨床的有用性が増すと考えられる。しかし時間的に別々に両方のシンチグラフィーを施行した場合に、それぞれの異常所見の位置的関係の把握が困難なことがある。そこで両方のシンチ像を同時に同一のコリメータを用いて撮像すれば、異常所見の位置的関係の把握も容易になると想定され、 ^{99m}Tc -rhenium-colloid と ^{67}Ga -citrate の 2 核種同時シンチグラフィーを基礎的に検討するとともに、その臨床的有用性についても検討したので報告する。

* 京都府立医科大学第一内科

** 同 放射線科

*** 京都大学医学部第一内科

受付：60年12月12日

最終稿受付：61年5月12日

別刷請求先：京都市上京区河原町広小路上ル梶井町465
(番号 602)

京都府立医科大学第一内科

丸尾 直幸

II. 材料と方法

1. ^{99m}Tc と ^{67}Ga のエネルギースペクトルの検索

200 μCi の ^{67}Ga と 20 μCi の ^{99m}Tc の radioactivity を, medium energy parallel collimator を用いてシンチレーションカウンター (島津・SEALE 製, Pho/Gamma LFOV) にて cpm で測定しエネルギースペクトルを検索した。

2. ^{67}Ga と ^{99m}Tc の同時測定

^{99m}Tc -rhenium-colloid は、リンパ節シンチグラフィー用 ^{99m}Tc -rhenium-colloid キット・TCK-17 (ミドリ十字社) を用いて調製した⁸⁾。

^{99m}Tc -rhenium-colloid は, ^{67}Ga -citrate 3 mCi 静注 2 日後, 3 mCi ずつ両足第 1 趾, 第 2 趾間に, 1 mCi ずつを両手第 2 指, 第 3 指間に, 1 mCi ずつを頭頂部正中線より 2 cm のところ左右対称に投与した。そして ^{99m}Tc -rhenium-colloid 投与 3 時間後に, window 幅を ^{99m}Tc に対して 140 keV の 10% とし, また ^{67}Ga に対して 184 keV と 296 keV のそれぞれの 20% で radioactivity を medium energy parallel collimator を用いて, シンチレーションカウンターで 1 分間計測すると同時にシンチレーションカメラで撮像した。なお計測・撮像直前には必ず排尿させた。

3. 症例

正常 (ボランティア) 3 例, Hodgkin 氏病 1 例, non-Hodgkin リンパ腫 10 例における ^{99m}Tc と ^{67}Ga の 2 核種同時使用の腫瘍・リンパ節シンチ像を検討した。診断は, すべてリンパ節生検による組織学的所見によった。

III. 結 果

1. ^{99m}Tc と ^{67}Ga のエネルギースペクトルの検索

^{67}Ga は 93 keV, 184 keV, 296 keV に, また ^{99m}Tc は 140 keV に peak をもつエネルギーを放出していた (Fig. 1)。これらの 2 核種を同一のコリメータで測定するために, window 幅は ^{67}Ga の場合に 184 keV で 20% および 296 keV で 20%

を, また ^{99m}Tc の場合に 140 keV で 10% を用いた。この条件では, ^{67}Ga の window で測定した場合に ^{99m}Tc の与える影響は, ^{99m}Tc の window での測定値の 0.2% ときわめて低かったが, ^{99m}Tc window での測定値は, ^{67}Ga window の測定値の 23.7% の値の ^{67}Ga に影響された。

2. 臨床応用

i) 正常例

正常例のシンチ像はすべて同じ傾向を示したので, Fig. 2 にその代表を示した。

正常例の ^{67}Ga window 像では (Fig. 2a), 全身の骨が軽度に描出され, 肝脾が時に描出された以外に異常な radioactivity の集積は認められなかつた。他方, ^{99m}Tc window 像では (Fig. 2b), 鼠径部リンパ節, 外腸骨リンパ節, 総腸骨リンパ節, 腹部傍大動脈リンパ節, 腋窩部リンパ節, 鎮骨窩リンパ節が, ほぼ左右対称の分布に描出された。また個々の像は, 内容均一で輪郭鮮明な円形を示した。同一症例の ^{99m}Tc -rhenium-colloid リンパ節シンチ像でも (Fig. 3) 同様の所見が認められ, 2 核種同時シンチグラフィーの ^{99m}Tc 像が, ^{67}Ga の影響で読影困難になることはなかった。

ii) 悪性リンパ腫例

2 核種同時シンチ像上, 典型的な異常所見を呈

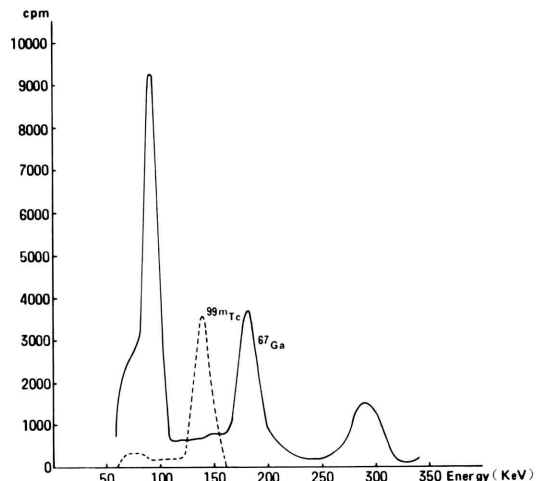


Fig. 1 Energy spectra of ^{99m}Tc and ^{67}Ga . Solid line: ^{67}Ga , broken line: ^{99m}Tc .

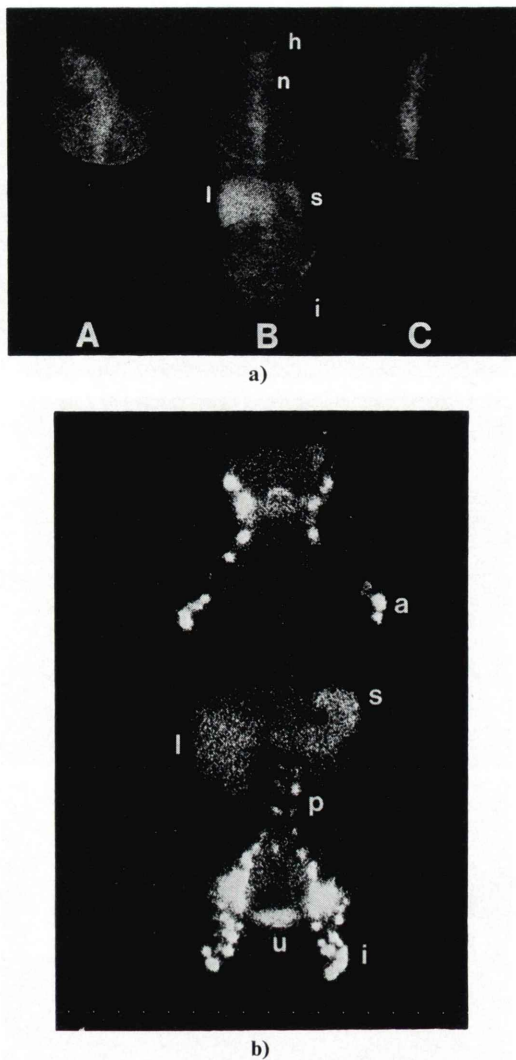


Fig. 2 Scintiphotos of a normal subject. h: head, n: neck, a: axillary lymph nodes, l: liver, s: spleen, p: para-aortic lymph nodes, u: urinary bladder, and i: inguinal lymph nodes.

- a) using ⁶⁷Ga-citrate (A: left lateral neck view, B: anterior view, C: right lateral neck view).
- b) using ^{99m}Tc-rhenium-colloid (anterior view).

する 3 症例について、まずくわしく述べ、その他の症例については簡単に異常所見を記した。

[症例 1] 47歳、男性。Hodgkin 氏病。

39°C 以上の高熱と、両側の頸部、腋窩部、鼠径部リンパ節腫脹を訴え入院。入院時の腹部 CT

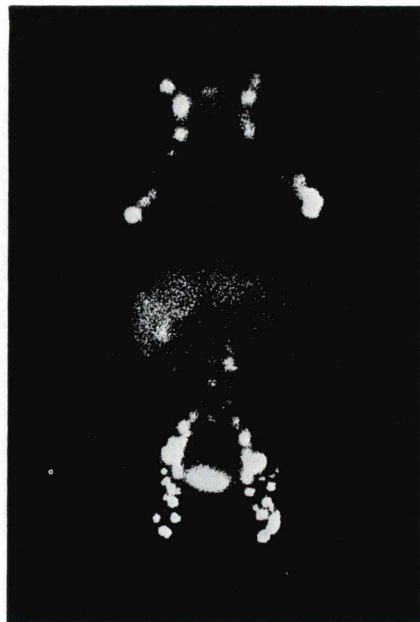


Fig. 3 Scintigram obtained with the ^{99m}Tc window using two different radioactive isotopes, ⁶⁷Ga-citrate and ^{99m}Tc-rhenium-colloid, in the same subject as in Fig. 2 (anterior view).

像 (Fig. 4a) で両側腹部傍大動脈リンパ節の腫大がみられ、リンパ管造影 (Fig. 4b) では、これらのリンパ節群に foamy pattern が認められた。また右鼠径部リンパ節は、内部が monotonous な像を呈していた。

入院後 1 週間目の ^{99m}Tc と ⁶⁷Ga の 2 核種同時シンチグラフィーで、⁶⁷Ga 像 (Fig. 4c) は、左頸に radioactivity の異常集積を示した。そして ^{99m}Tc 像 (Fig. 4d) では、⁶⁷Ga window 像が radioactivity の集積を示した部位に一致して欠損所見がみられ、またリンパ管造影が foamy pattern を示した腹部傍大動脈リンパ節群において、描出リンパ節群数の著減と個々の像の輪郭不鮮明な所見が認められた。その他に、右鼠径部リンパ節に欠損所見がみられた。そして、左頸部リンパ節生検により、Hodgkin 氏病の組織所見が得られた。本症例の入院時の ^{99m}Tc-rhenium-colloid リンパ節シンチ像は (Fig. 4e)，2 核種同時シンチグラフィーの ^{99m}Tc window 像と同様の所見を呈し、このリン

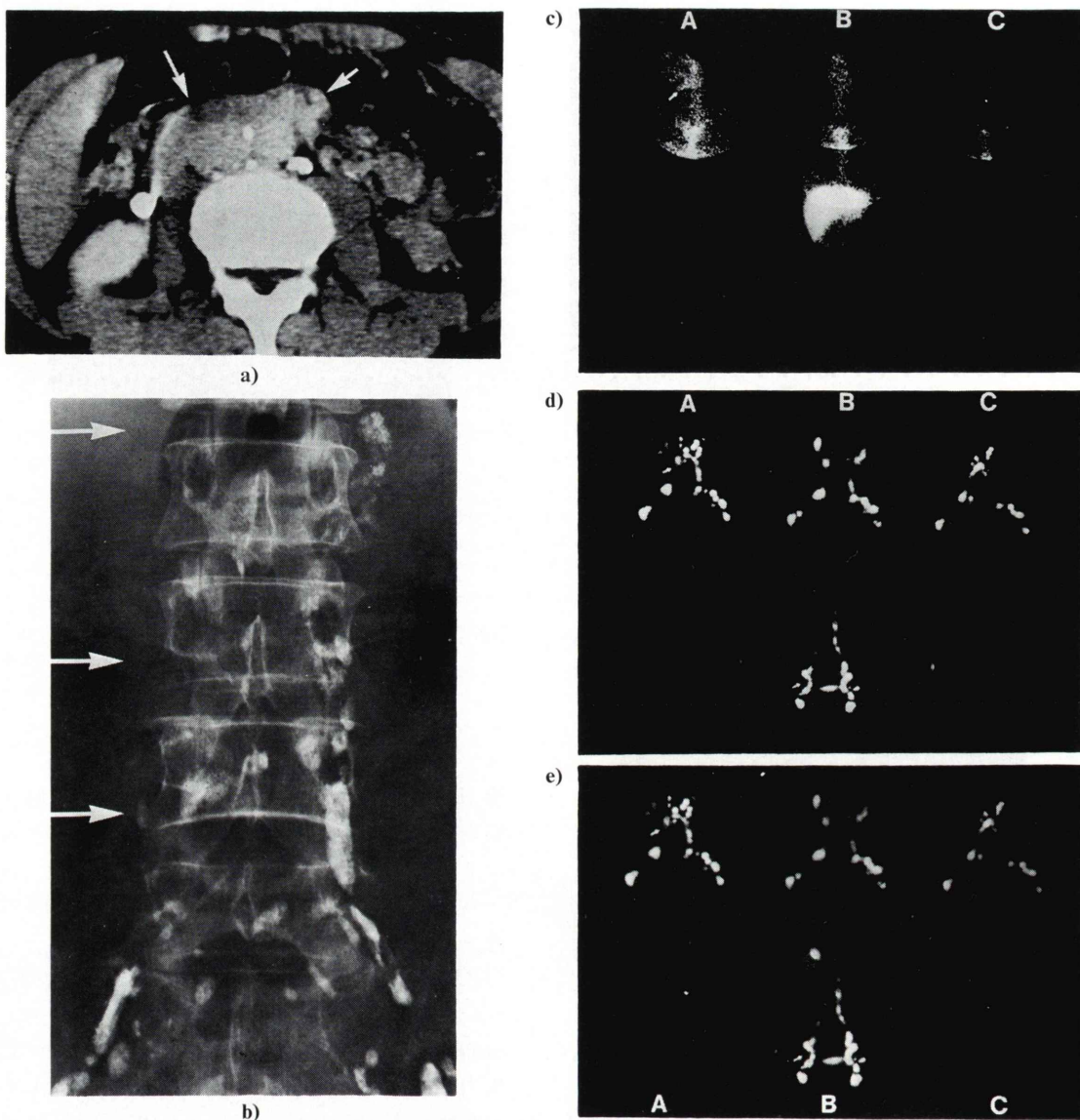


Fig. 4 Images obtained from a patient with Hodgkin's disease. A: left lateral neck view, B: anterior view, C: right lateral neck view.

- Image of the para-aortic lymph nodes (arrow) obtained by computed tomography (CT).
- Lymphangiogram poorly visualizing the region from the para-aortic lymph nodes to the common iliac lymph nodes (arrows), particularly on the right.
- Dual tracer scintigram obtained with ^{67}Ga window. An abnormal accumulation of ^{67}Ga (arrow) is noted in the neck on the left.
- Image obtained with $^{99\text{m}}\text{Tc}$ window. The upper arrow shows a defect in the region corresponding to the abnormal accumulation of ^{67}Ga . The lower arrow reveals a defect in the right inguinal lymph nodes.
- Lymphoscintigram using $^{99\text{m}}\text{Tc}$ -rhenium-colloid. Defects indicated by the upper and lower arrows were located in the same regions where a dual tracer scintigram revealed the defects with $^{99\text{m}}\text{Tc}$ window.

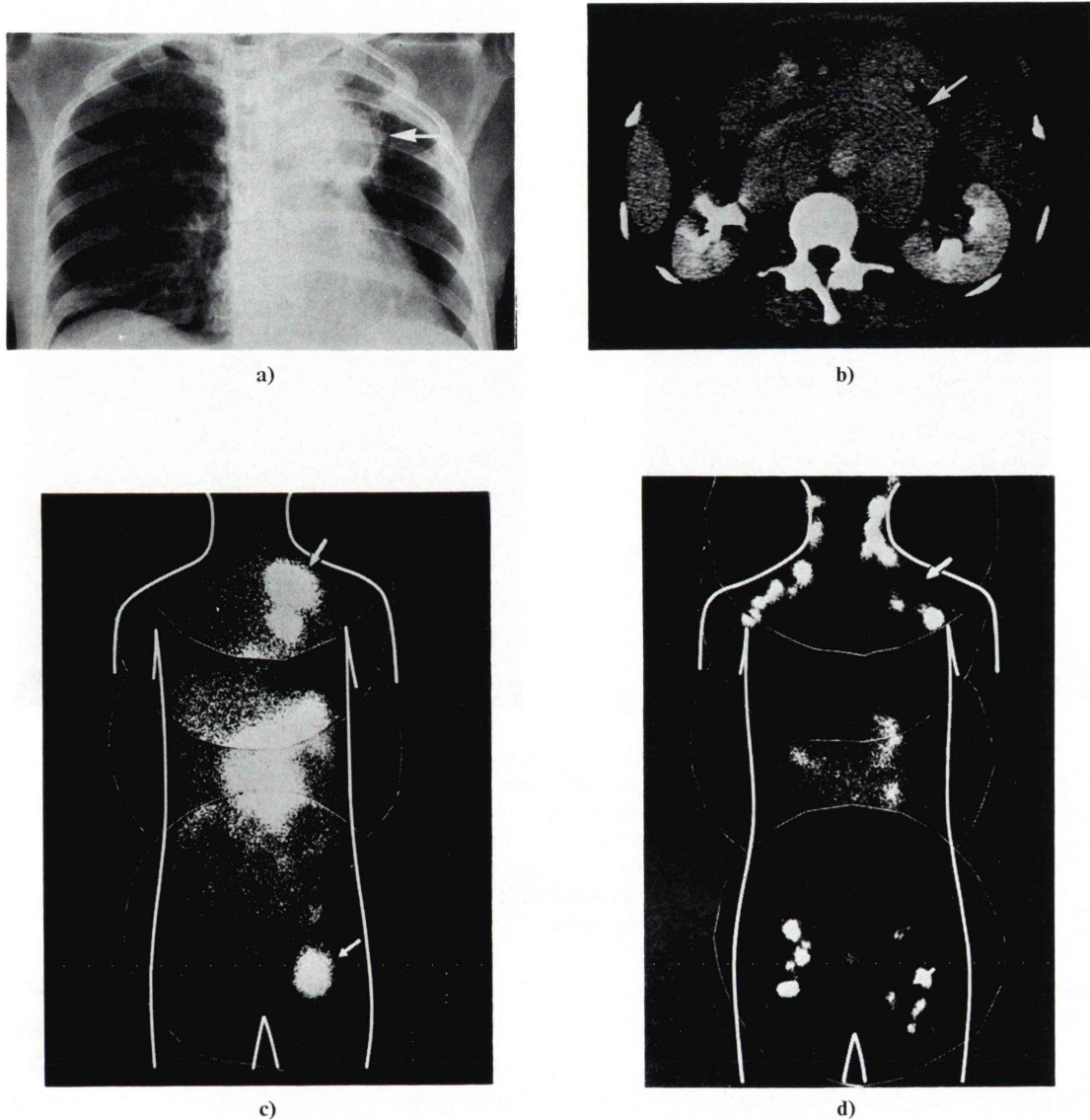


Fig. 5 Images obtained from a patient with non-Hodgkin's lymphoma.

- Chest X ray film. The arrow indicates a shadow due to a tumor.
- CT image of the abdomen. Tumor-like substance (arrow) is observed.
- Dual tracer scintigram obtained with ^{67}Ga window. The upper arrow shows an abnormal accumulation in the left supraclavicular region. The lower arrow shows an abnormal accumulation in the left inguinal region.
- Image obtained with ^{99m}Tc window. Arrows show defects in the regions corresponding to the abnormal accumulations of ^{67}Ga shown in Fig. 5c.

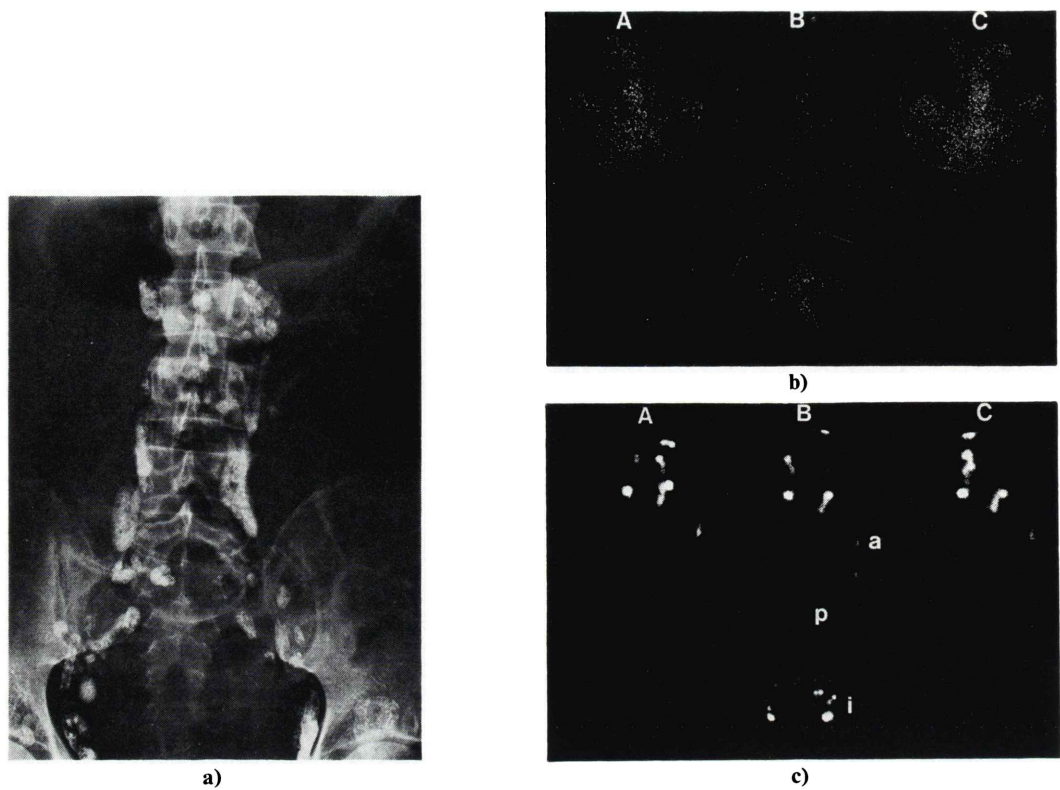


Fig. 6 Images obtained from a patient with non-Hodgkin's lymphoma. A: left lateral neck view, B: anterior view, C: right lateral neck view.

- a) Lymphangiogram taken at the time of admission. Foamy appearance is noted from the para-aortic lymph nodes to the inguinal lymph nodes.
- b) Dual tracer scintigram obtained with the ^{67}Ga window.
- c) Image obtained with the $^{99\text{m}}\text{Tc}$ window. i: inquinal lymph nodes, p: para-aortic lymph nodes, a: axillary lymph nodes.

パ腫症例においても2核種同時シンチグラフィーの $^{99\text{m}}\text{Tc}$ window像の読影が、 ^{67}Ga の影響で困難になることはなかった。

[症例6] 51歳、女性。non-Hodgkinリンパ腫。左鎖骨上窩と左鼠径部の腫瘍および38°C以上の高熱を訴え入院。入院時の胸部レントゲン単純撮影像(Fig. 5a)で左肺門部に腫瘍陰影がみられ、また腹部CT像(Fig. 5b)で腹部大動脈リンパ節群は腫瘍塊像を形成していることが認められた。この時期の $^{99\text{m}}\text{Tc}$ と ^{67}Ga の2核種同時シンチグラフィーの ^{67}Ga 像は(Fig. 5c)、左鎖骨窩、左鼠径部、左肺門部と腹部にradioactivityの集積を示した。そして $^{99\text{m}}\text{Tc}$ 像では(Fig. 5d)、左鎖骨窩

と左鼠径部の ^{67}Ga 像でradioactivityの集積がみられた部位に一致して欠損所見と、欠損所見に隣接する部位に、正常例では認められない $^{99\text{m}}\text{Tc}$ のradioactivityの集積が認められた。また、両側腹部傍大動脈リンパ節群は描出されなかった。本症例は、 $^{99\text{m}}\text{Tc}$ と ^{67}Ga の2核種同時シンチグラフィー施行後のリンパ節生検組織像で、non-Hodgkinリンパ腫と診断された。

[症例11] 62歳、男性。non-Hodgkinリンパ腫。頸部、腋窩部、鼠径部リンパ節腫大と発熱(37.5°C位)を訴え入院。入院時のリンパ管造影(Fig. 6a)では、腹部傍大動脈リンパ節から鼠径部リンパ節にかけて、個々のリンパ節の腫大と

foamy pattern が認められ悪性リンパ腫が疑われた。また ^{99m}Tc と ⁶⁷Ga の 2 核種同時シンチグラフィーの ⁶⁷Ga 像 (Fig. 6b) では、異常な radioactivity の集積は認められなかつたが、^{99m}Tc (Fig. 6c) では、右鼠径部リンパ節の欠損所見と左鼠径部の部分欠損所見および両側腹部傍大動脈リンパ節の欠損所見が認められた。その上に、両側腋窩リンパ節は、輪郭不鮮明な像 (にじみ像) を呈し、両側頸部リンパ節では癒合像がみられた。これら上記の所見は、^{99m}Tc-rhenium-colloid リンパ節シンチ像では悪性リンパ腫を示唆する所見⁴⁾である。そして ^{99m}Tc と ⁶⁷Ga の 2 核種同時シンチグラフィー施行後の頸部リンパ節生検で、non-Hodgkin リンパ腫と診断された。

[症例 2] 77歳、女性。non-Hodgkin リンパ腫。

両側頸部リンパ節の軽度の腫大と 38°C の発熱を訴え入院。入院時の ^{99m}Tc と ⁶⁷Ga の 2 核種同時シンチグラフィーの ⁶⁷Ga 像で両側頸部、右鼠径部および腹部傍大動脈に radioactivity の集積がみられ、^{99m}Tc では ⁶⁷Ga の集積部位に一致してそれぞれ欠損、にじみ像、欠損の所見が認められた。診断は、右頸部リンパ節の生検組織像によつた。

[症例 3] 67歳、女性。non-Hodgkin リンパ腫。

両側の頸部および鼠径部リンパ節腫大を訴え入院。^{99m}Tc と ⁶⁷Ga による 2 核種同時シンチグラフィーの ⁶⁷Ga 像で両側頸部および右鼠径部に radioactivity の集積がみられ、^{99m}Tc 像では、⁶⁷Ga の集積部位に一致して欠損所見が認められた。診断は、右頸部リンパ節の生検組織像によつた。

[症例 4] 59歳、女性。non-Hodgkin リンパ腫。

発熱 (37.5°C) と左頸部リンパ節腫大にて入院。入院時の 2 核種同時シンチグラフィーの ⁶⁷Ga 像では radioactivity の異常な集積が認められなかつたが、^{99m}Tc 像では、左頸部リンパ節の部分欠損とリンパ管造影にて腫大と granular pattern を示した両鼠径部リンパ節にも部分欠損所見が認められた。そして左頸部リンパ節の生検で non-Hodgkin リンパ腫の組織像が得られた。

[症例 5] 33歳、女性。non-Hodgkin リンパ腫。

両側扁桃腺と両側頸部リンパ節の腫大にて入院。2 核種同時シンチグラフィーの ⁶⁷Ga 像で両側頸部に radioactivity の集積がみられ、^{99m}Tc 像では両側頸部リンパ節ににじみ像が認められた。診断は、扁桃腺摘出の組織所見によつた。

[症例 7] 58歳、男性。non-Hodgkin リンパ腫。

両側の頸部、腋窩部、鼠径部リンパ節腫大と発熱を主訴として入院。胸部レントゲン単純撮影で両側肺門部リンパ節の腫大が認められた。2 核種同時シンチグラフィーでは、⁶⁷Ga 像で左右頸部、左腋窩部、肺門部および右鼠径部に radioactivity の集積が認められ、また ^{99m}Tc 像では ⁶⁷Ga 像で radioactivity の集積が認められた部位に一致して、両側頸部と右鼠径部リンパ節には癒合像が、左腋窩部リンパ節には欠損所見が認められた。診断は、頸部リンパ節生検組織所見によつた。

[症例 8] 27歳、男性。non-Hodgkin リンパ腫。

咳嗽と両側頸部リンパ節腫大を訴え入院。2 核種同時シンチグラフィーの ⁶⁷Ga 像では左頸部、左肺門部、右鼠径部に radioactivity の集積がみられ、^{99m}Tc 像では左頸部リンパ節の癒合像と右鼠径部リンパ節ににじみ像が認められた。鎖骨上窩リンパ節の生検組織像により non-Hodgkin リンパ腫と診断された。

[症例 9] 70歳、男性。non-Hodgkin リンパ腫。

両側頸部リンパ節腫大と高熱 (38.0°C) を訴え入院。2 核種同時シンチグラフィーでは ⁶⁷Ga 像で両側頸部に radioactivity の集積がみられ、^{99m}Tc 像では ⁶⁷Ga 像で radioactivity の集積が認められた部位に一致して、にじみ像と癒合像がみられた。診断は、頸部リンパ節生検組織像によつた。

[症例 10] 53歳、男性。non-Hodgkin リンパ腫。

右頸部、両側腋窩部、右鼠径部のリンパ節腫大があり、2 核種同時シンチグラフィーの ⁶⁷Ga 像でリンパ節腫大部位に radioactivity の集積が認められ、^{99m}Tc 像では右頸部リンパ節の癒合像と両側腋窩部および右鼠径部リンパ節に欠損所見が認められた。本症例は、右頸部リンパ節生検組織像にて診断された。

悪性リンパ腫 11 例の ^{99m}Tc と ⁶⁷Ga による 2 核

Table 1 Summary of 11 patients with malignant lymphoma

Case	年齢	性別	診断名	Gaの集積像	Tc-Renリンドバ節像
1	47	♂	HD	+	にじみ像
2	77	♀	NHL	+	欠損 にじみ像
3	66	♀	NHL	+	欠損
4	59	♀	NHL	-	欠損
5	33	♀	NHL	+	にじみ像
6	51	♀	NHL	+	欠損 側副路形成
7	58	♂	NHL	+	欠損 癌合像
8	27	♂	NHL	+	にじみ像 癌合像
9	70	♂	NHL	+	にじみ像 癌合像
10	53	♂	NHL	+	欠損 にじみ像
11	62	♂	NHL	-	欠損 にじみ像 癌合像

種同時シンチグラフィー上の所見については、Table 1 にまとめた。

IV. 考 察

悪性リンパ腫においてリンパ節の造影診断は、リンパ節の状態を機能的にまた形態的に把握する上で重要である^{9~11)}。しかし、造影診断のうち Kinmonth の直接リンパ管造影法¹²⁾は、一過性のリンパ管炎、肺硬塞、脳硬塞や発熱などの合併があり、ヨード過敏症の症例には施行不能である欠点を有し^{9,11,13,14)}、さらにリンパ管造影後のリンパ節の組織学的検索においても、造影剤のための異物反応や lipogranuloma 等により組織像が修飾されて診断困難な欠点を有する^{11,13)}。これに対し放射性同位元素を用いたリンパ節シンチグラフィーや腫瘍シンチグラフィーは、上記の合併症もなく、また手技的にもより簡単で患者への苦痛や侵襲のより少ない検査方法と考えられる。

撮像条件のうち window 幅は、核医学イメージ

ングの規格化に関する勧告¹⁵⁾に従った。

^{99m}Tc と ⁶⁷Ga を同時に同一のコリメータで測定した場合に、⁶⁷Ga の window での ^{99m}Tc の影響はきわめて低いものであったが、^{99m}Tc の window での ⁶⁷Ga の影響は ⁶⁷Ga window の測定値の 23.7% であった。しかし、^{99m}Tc と ⁶⁷Ga の 2 核種同時シンチグラフィーの ^{99m}Tc 像と ^{99m}Tc-rhenium-colloid リンパ節シンチ像を比較した場合に、正常例および症例 1 の悪性リンパ腫例において両方のシンチ像で同様の所見が得られ、臨床上 2 核種同時シンチグラフィーの ^{99m}Tc window での像が、⁶⁷Ga の影響で読影困難になることはなかった。このことは、鳥住らの報告¹⁶⁾と略一致しているが、われわれは、症例を悪性リンパ腫に限り検討を加えた。その結果、2 核種同時シンチグラフィーの ^{99m}Tc 像は、^{99m}Tc-rhenium-colloid リンパ節シンチ像と同じ基準で読影が可能と考えられる。また症例 1 で ^{99m}Tc 像が欠損所見を呈した右鎖骨部リンパ節に ⁶⁷Ga 像で radioactivity の集積が認められなかったのは、これらのリンパ節がリンパ管造影で無構造性を示したことからもリンパ節の貪食機能を示さない壞死に近い状態であったことが原因の 1 つと考えられる。

症例 6 では、2 核種同時シンチグラフィーの ^{99m}Tc 像で左鎖骨窩と左鎖骨部に欠損所見が認められ、また同一部位に ⁶⁷Ga 像で radioactivity の集積がみられた。このように陰性像と陽性像を相補的に診断できた症例は 11 例中 9 例で (Table 1)、^{99m}Tc 像の欠損所見がリンパ節の anomaly によらず悪性リンパ腫によることが、^{99m}Tc-rhenium-colloid リンパ節シンチ像と比べて、より的確に把握できた。さらに、本症例は、^{99m}Tc-rhenium-colloid リンパ節シンチ像のみでは情報の得られなかつた肺門部および上腹部のリンパ節の状態を、2 核種同時シンチグラフィーを施行することにより、⁶⁷Ga の radioactivity の集積像として示した。以上の点より、2 核種同時シンチグラフィーは、^{99m}Tc-rhenium-colloid リンパ節シンチグラフィーと比較して臨床的有用性が高いと考えられる。

症例 6 の ^{99m}Tc 像で、腹部傍大動脈リンパ節群

が描出されなかったのは、腫瘍によりリンパの流れが障害されたためか、または、腫瘍にリンパ節が侵されたためかなどの可能性が考えられる。また左鎖骨窩と左鼠径部の欠損所見部位と隣接する部位に、正常例では認められない radioactivity の集積がみられたのは、腫瘍によりリンパの流れが障害された結果生じたリンパ流の側副路の反映と考えられる。他方、症例11のように、2核種同時シンチグラフィーの ⁶⁷Ga 像で異常な radioactivity の集積は認められなかったが、^{99m}Tc 像で欠損所見などの悪性リンパ腫を示唆する所見が得られ、生検組織像で診断された症例は、悪性リンパ腫11例中2例であった。⁶⁷Ga-citrate 腫瘍シンチグラフィーは、悪性リンパ腫の10~15%に radioactivity の集積を示さない¹⁾。この場合にも症例6のように2核種同時シンチグラフィーにより、⁶⁷Ga-citrate 腫瘍シンチグラフィー陰性例の欠点をも補うことが可能と考えられる。

今後、さらに診断的有用性を検討するとともに、臨床経過の把握にも応用していきたい。

V. まとめ

^{99m}Tc-rhenium-colloid と ⁶⁷Ga-citrate を用いての2核種同時シンチグラフィーについて基礎的なならびに臨床的に検討し、以下の結果を得た。

1) 放射活性を ⁶⁷Ga の window で測定した場合に ^{99m}Tc の及ぼす影響は、^{99m}Tc の window で測定した値の0.2%ときわめて低いものであったが、^{99m}Tc の window で測定した場合に ⁶⁷Ga の及ぼす影響は ⁶⁷Ga の window で測定した値の23.7%であった。

2) ^{99m}Tc 像は、正常者でも悪性リンパ腫症例においても、^{99m}Tc-rhenium-colloid リンパ節シンチ像と同様の所見を呈し、読影上 ⁶⁷Ga による障害はなかった。

3) 悪性リンパ腫で、⁶⁷Ga 像は陽性像を、また ^{99m}Tc 像は陰性像を呈した。

4) ⁶⁷Ga 像の陽性像と ^{99m}Tc 像の陰性像とを相補的に診断することにより、anomaly による欠損と悪性リンパ腫の浸潤との鑑別が、^{99m}Tc-

rhenium-colloid リンパ節シンチと比較して、より容易であった。

5) ⁶⁷Ga 像で radioactivity の異常集積を示さない悪性リンパ腫症例でも、^{99m}Tc 像で悪性所見の得られる場合があり、^{99m}Tc-rhenium-colloid と ⁶⁷Ga-citrate を用いた2核種同時シンチグラフィーは ⁶⁷Ga-citrate 腫瘍シンチグラフィーより臨床的に有用性が高いといえる。

以上より、^{99m}Tc-rhenium-colloid と ⁶⁷Ga-citrate を用いた2核種同時シンチグラフィーは、悪性リンパ腫の補助診断法として有意義な検査法と考えられる。

文 献

- 1) 鶴海良彦、仲山 親、鴨井逸馬、他：RI 診断の価値。臨放 **24**: 1181-1189, 1979
- 2) 丸尾直幸、中坊俊雅、堀内博彦、他：リンパ節シンチグラフィーの有用性について。リンパ学 **7**: 178-183, 1984
- 3) 丸尾直幸、近藤元治、三木昌宏：リンパ節シンチグラフィーの有用性(II)——悪性リンパ腫において——。リンパ学 **8**: 109-114, 1985
- 4) 丸尾直幸、中坊俊雅、小沢 勝、他：^{99m}Tc-rhenium-colloid リンパ節シンチグラフィーの臨床的知見——悪性リンパ腫について——。核医学 **22**: 1843-1850, 1985
- 5) Gelrud LG, Arseneau JC, Milder MS, et al: The kinetics of ⁶⁷gallium incorporation into inflammatory lesions. J Lab Clin Med **83**: 489-495, 1975
- 6) Menon S, Wagner HN Jr, Tsan M-F: Studies on gallium accumulation in inflammatory lesions: II. Uptake by Staphylococcus aureus: Concise communication. J Nucl Med **19**: 44-47, 1978
- 7) Burleson RL, Holman BL, Tow DE: Scintigraphic demonstration of abscesses with radioactive gallium labelled leukocytes. Surg Gynecol Obstet **141**: 379-382, 1975
- 8) 丸尾直幸、菅野辰生、中坊俊雅、他：リンパ節シンチグラフィー用剤・^{99m}Tc-レニウムコロイドキット(TCK-17)の基礎的検討。京府医大誌 **93**: 189-200, 1984
- 9) Lee BJ, Nelson JH, Schwarz G: Evaluation of lymphangiography, inferior venacavography and intravenous pyelography in the clinical staging and management of Hodgkin's disease and lymphosarcoma. N Engl J Med **271**: 327-337, 1964
- 10) Fairbanks VF, Tauxe WN, Kiely JM, Miller WE: Scientific visualization of abdominal lymph nodes with ^{99m}Tc-pertechnetate-labeled sulfur colloid. J

- Nucl Med **13**: 185-190, 1971
- 11) Wallace S, Jackson L, Schaffer B, et al: Lymphangiograms: Their diagnostic and therapeutic potential. Radiology **76**: 176-199, 1961
- 12) Kinmonth JB: Lymphangiography in man. Method of outlining lymphatic trunks at operation. Clin Sci **11**: 13-20, 1952
- 13) Fuchs WA: Complications in lymphography with oily contrast media. Acta Radiol **57**: 427-432, 1962
- 14) Nelson B, Rush EA, Takasugi M, Wittenberg J: Lipid embolism to the brain after lymphography. N Engl J Med **273**: 1132-1134, 1965
- 15) 核医学イメージング規格化専門委員会：核医学イメージングの規格化に関する勧告. Radioisotopes **33**: 660-673, 1984
- 16) 鳥住和民, 川端 衛, 上芝教昭, 他: 2核種同時使用による腫瘍・リンパ節シンチグラムの基礎的検討. Radioisotopes **30**: 174-176, 1981

Summary

Dual Tracer Scintigraphy Using 99m Tc-rhenium-colloid and 67 Ga-citrate (1): A Basic Investigation and Clinical Evaluation

Naoyuki MARUO*, Toshimasa NAKABO*, Masaru OZAWA*, Yutaka KOBAYASHI*,
Motoharu KONDO*, Kunio OKAMOTO**, Masato YAMASHITA**
and Masahiro MIKI***

*First Department of Internal Medicine, Kyoto Prefectural University of Medicine

**Department of Radiology, Kyoto Prefectural University of Medicine

***First Department of Internal Medicine, Faculty of Medicine, Kyoto University

Scintigraphy using 99m Tc-rhenium-colloid and 67 Ga-citrate was basically investigated and performed in 8 patients with malignant lymphoma. The energy spectrum of 99m Tc showed a different peak from that of 67 Ga did. Therefore, the radioactivity of 99m Tc and 67 Ga was measured simultaneously with the same collimator to clarify the relationship of the locations of lesions in both scintigrams. The windows used for the 67 Ga were 184 KeV \pm 20% and 296 KeV \pm 20%, and that for the 99m Tc was 140 KeV \pm 10%. The percentage of 67 Ga radioactivity to the whole radioactivity measured using the 99m Tc window was 23.7% of the radioactivity measured using the 67 Ga windows. However, the image obtained with the 99m Tc

window was not substantially influenced by the 67 Ga radioactivity. In contrast, the influence of 99m Tc on the activity measured using the 67 Ga window was negligible. This dual tracer scintigraphy using two different radioactive isotopes, 67 Ga-citrate and 99m Tc-rhenium-colloid, gave positive and negative findings respectively in the neoplastic regions. This finding suggests that this dual tracer scintigraphy is more valuable than scintigraphy using 99m Tc-rhenium-colloid or 67 Ga-citrate.

Key words: 99m Tc-rhenium-colloid, 67 Ga-citrate, Energy spectra, Dual tracer scintigraphy, Malignant lymphoma.